

## СТРУКТУРА $\alpha$ -МОДИФИКАЦИИ КИСЛОРОДА

*Р.А.Алиханов*

Проведенные нейтронографические исследования твердого кислорода при 27; 20,4 и 4,2°К позволили получить надежные дебаеграммы  $\beta$  и  $\alpha$  модификаций  $O_2$  [1].

Картина дифракции нейтронов на  $\alpha O_2$  (при 20,4°К) приведена на рис.1 (где в малом масштабе также воспроизводится дебаеграмма  $\beta O_2$ ). Соответствующего аналога среди опубликованных до настоящего времени набора дифракционных линий, приписываемых  $\alpha$ -фазе кислорода нет [2-5]. Во всех предыдущих работах полученные результаты относились к смеси  $\beta$ - и  $\alpha$ -модификаций, возникавшей из-за неудачных условий эксперимента, при которых осажденные образцы кислорода имели значительный градиент температуры, перекрывавший интервал от температуры ванны (20; 16; 20,5; 20°К) до температуры  $\alpha \rightarrow \beta$ -перехода – 23,88°К.

В настоящей работе, методика которой описана ранее [1], дифракционные картины, полученные при 20,4 и 4,2°К, тождественны и принадлежат  $\alpha$ -модификации, с другой стороны, их общая структура весьма подобна наблюдаемой в  $\beta$ -фазе при 27°К.

Подобие относится как к положению линий, так и к характеру распределения интенсивностей среди них (см. рис.1).

При детальном сравнении нейтронограмм обращает особое внимание неизменность двух линий при  $21^{\circ}11'$  и  $43^{\circ}16'$ , а также появление в дифрактограмме  $\alpha O_2$  новых рефлексов ( $16^{\circ}45'$ ,  $19^{\circ}45'$ ,  $33^{\circ}39'$  и  $47^{\circ}33'$ ) и разрежение плотной группы отражений при углах выше  $50^{\circ}$ .

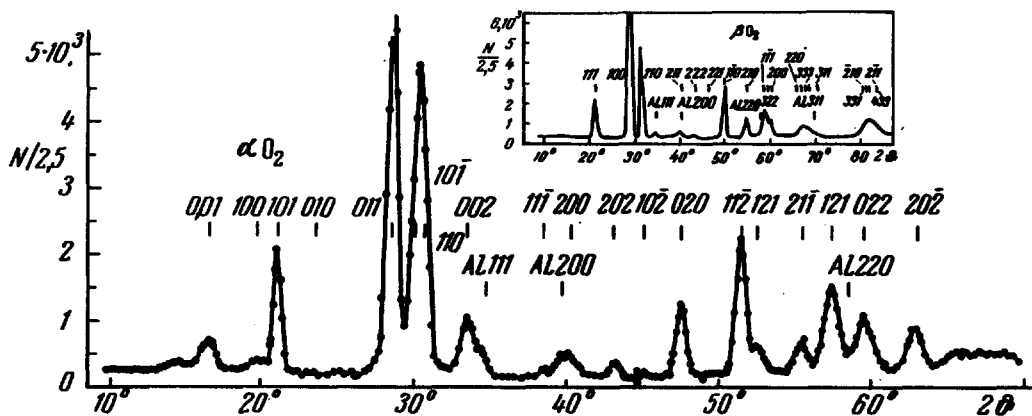


Рис.1

То обстоятельство, что в нейтронограммах есть неизменные отражения, а также общее сходство дифракционных картин обоих модификаций послужило полезным методическим указанием, позволившим определить структуру  $\alpha$ -модификации кислорода. В качестве исходной гипотезы использовано предположение о том, что  $\beta \rightarrow \alpha$ -переход сопровождается незначительным смещением кислородных молекул из положений, занимаемых ими в ромбоздре  $\beta O_2$  ( $0: \pm(u, u, u)$ ,  $u = 0,055$ ). Схема подхода к решению задачи о структуре  $\alpha O_2$  дана на рис.2. Здесь вычерчена ромбоздрическая сетка  $\beta O_2$  в трех проекциях.

В центре изображены четыре соседних ромбоздрических ячеек, плоскости симметрии которых совпадают с плоскостью чертежа. Линия, пронумерованная 1-2-3, разделяет две пары ячеек по плоскостям (100), перпендикулярным плоскости чертежа. Вид со стороны плоскостей (100) (вид сбоку) дан в левом верхнем углу рисунка, где два ромба указывают относительное расположение ячеек внутри пары. Проекция, изображенная в нижней части рисунка, – вид на ячейки сверху – вдоль ромбоздрической оси с сечениями по трем соседним базисным плоскостям (111) на уровнях, обозначенных 1, 2, 3.

В описанную выше ромбоздрическую сетку вписана другая решетка, изображенная на рис.2 жирной линией. Плоскости (110) двух ячеек, расположенных по диагонали, ограниченные попарно плоскостями типа (211) и (110) дают новую ячейку, которая, как видно из построения, должна быть моноклинной объемноцентрированной с пространственной симметрией типа  $I\bar{2}/m$ , а в принятых обозначениях (при другом варианте построения)  $C_{2h}^3 - C^{2/m}$ .

Имея ввиду предложенную схему  $\beta \rightarrow \alpha$ -перехода и рассматривая совместно дебаеграммы  $\beta$ - и  $\alpha$ -модификаций, можно теперь проиндцировать часть рефлексов нейтронограммы  $\alpha O_2$ .

Из построения ячейки следует, что  $d_{001}$ ,  $d_{010}$  и  $d_{100}$  в  $\alpha O_2$  должны быть близки к удвоенным значениям  $d_{110}$ ,  $d_{\bar{1}\bar{1}0}$  и  $d_{211}$  в  $\beta O_2$ . Ниже приведены значения  $2d(\beta O_2)$  и межплоскостные расстояния  $\alpha O_2$ , вычисленные по положению первых четырех пиков (см. таблицу).

Т а б л и ц а

$\beta O_2$			$\alpha O_2$		
$hkl$	$2d$	$d$	$d$	$2d$	$hkl$
110	5,108		4,773		001
211	4,016		4,024		100
111		3,752	3,782		101
110	3,308			3,448	020
			2,795		011

Максимальное  $d(\alpha O_2)$ , отвечающее первому пику ( $2\theta = 16^\circ 45'$ ) нейтронограммы отличается от  $2d_{110}(\beta O_2)$  на 65%. Следующий пик ( $19^\circ 54'$ ) очень мал по интенсивности, однако, его положение удачно совпало с  $2d_{211}(\beta O_2)$ . Далее в таблице проведено сравнение межплоскостных расстояний пика, неизменившегося внешне при  $\beta \rightarrow \alpha$ -переходе, и указана его индексация, следующая из построения ячейки. Наконец, третий член семейства {100} (010) на нейтронограмме  $\alpha O_2$ , как выясняется, отсутствует. Рефлексов, давших бы величину  $d$ , достаточно близкую к  $2d_{1\bar{1}0}(\beta O_2)$  нет. Здесь в ходе расшифровки было использовано предположение о том, что кроме равенства нулю структурного ядерного фактора равен нулю (в отличие от (001) и (100)) и магнитный структурный фактор (010).

Однако значение  $d_{011}$  удалось найти, используя рефлексы при больших углах рассеяния, имея ввиду отражение (020). Среди пиков вблизи  $50^\circ$  наблюдаются два отражения ( $47^\circ 33'$  и  $51^\circ 33'$ ), для которых  $2d$  соответственно равны: 3,448 и 3,197. Выбор пал на первое из этих значений, так как при этом расчетная величина  $d_{011} = 2,794$  (следующего по порядку межплоскостного расстояния моноклинной решетки) оказалась в превосходном согласии с наблюденной. В данном случае такой критерий имеет все основания по той причине, что отражение (011) является наиболее интенсивным отражением нейтронограммы.

Располагая набором данных, приведенных в таблице, не представляло труда найти параметры элементарной ячейки  $\alpha$ -модификации кислорода:  $a = 4,284 \pm 0,009$ ;  $b = 3,448 \pm 0,007$ ;  $c = 5,081 \pm 0,011$ ;  $\beta = 110^\circ 4' \pm 1'$ .

Индексы всех последующих рефлексов расположились в последовательности, указанной над рефлексами рис.1.

Ячейка содержит две молекулы кислорода, а его плотность при температуре 20,4°К равна  $1,489 \pm 1/\text{см}^3$ . Следовательно, при  $\beta \rightarrow \alpha$ -переходе изменения плотности практически не происходит в отличие от  $\gamma \rightarrow \beta$ -перехода, при котором она возрастает на 13%.

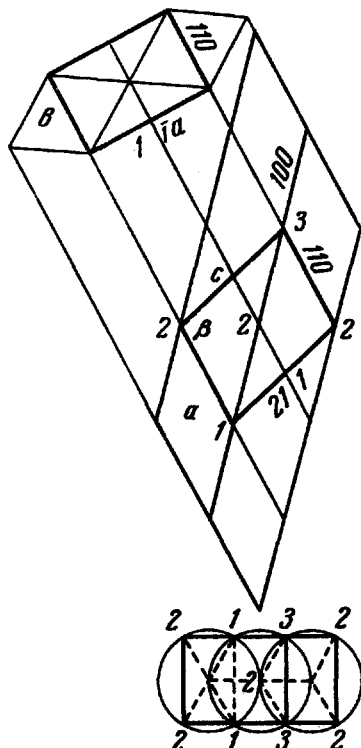


Рис.2

Предварительные расчеты координат атомов кислорода подтвердили принятую модель  $\beta \rightarrow \alpha$ -перехода, в которой ось молекулы  $O_2$  фиксируется вдоль ромбодрической оси  $\beta O_2$ .

Универсальное определение координат атомов осуществлено совместно с Е.Б.Вул и Ю.Г.Федоровым [6] методом нелокального поиска, применяемого ранее к задачам рентгеноструктурного анализа [7].

В ходе поиска, осуществленного во всей области возможных значений координат атомов, была установлена единственность найденного решения, а именно найдены следующие значения координат атомов кислорода:  $\pm(x, 0, z); \pm(1/2 + x, 1/2, 1/2 + z)$ .  $x = 0,104$ ,  $z = 0,044$ ,  $R = 5,9\%$ .

Магнитная структура  $\alpha$ -модификации кислорода как следует из нейтронограммы, содержащей отражения с нечетной суммой индексов, антиферромагнитна, причем магнитные моменты ориентированы вдоль оси кристалла и перпендикулярно оси молекул.

Институт  
физики высоких давлений  
Академии наук СССР

Поступило в редакцию  
30 марта 1967 г.

## Литература

- [1] Р.А.Алиханов. Proc. 3 rd Reg. Conf., Prague, 127, 1963; ЖЭТФ, 45, 812, 1963; J. de Phys., 25, 449, 1964; Препринт ИТЭФ № 460, 1966.
- [2] I.L.Mc Lennan, I.O.Wilhelm. Phil. Mag., 7/3, 383, 1927.
- [3] M.Ruhemann. Zs. Phys. 76, 368, 1932.
- [4] H.H.Mooy. Leiden Comm., N 233 a, 1932.
- [5] M.Hörl. Acta Cryst., 15, 845, 1962.
- [6] Р.А.Алиханов, Е.Б.Вул, Ю.Г.Федоров. Abstracts VII Intern. Congress Crystallographys., P. 88, 1966.
- [7] И.М.Гельфанд, И.И.Пятецкий-Шapiro, Ю.Г.Федоров. ДАН, 152, 191, 1963.